

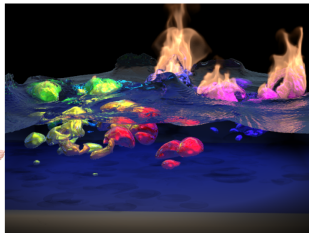
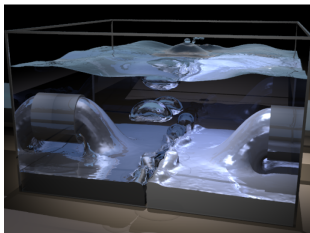
ETI5 Majeure Image: Animation physique

CPE Lyon
damien.rohmer@cpe.fr

26 Novembre 2010

Animation physique

- Quand on ne sait pas le déformer *à la main*.
- Quand il faut modéliser des phénomènes physiques.



[Fedkiw SIGGRAPH 06],[Grinspun SIGGRAPH 07]

- 1 Défini un système S_0 (positions, vitesses, forces, ...) à l'instant $t = 0$.
- 2 On modélise son évolution temporelle par une équation aux dérivées partielles (EDP / PDE)

$$\mathcal{F} \left(S(t), \frac{\partial^n S}{\partial t^n}, \frac{\partial^m S}{\partial x^m} \right) = 0$$

- Généralement on pourra écrire

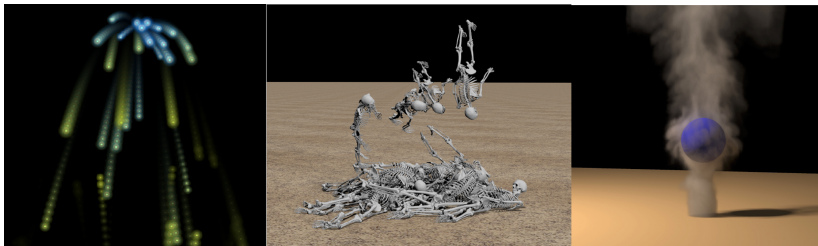
$$\frac{\partial S}{\partial t} = AS + \mathcal{H} \left(S(t), \frac{\partial^m S}{\partial x^m} \right)$$

- 3 On résoud numériquement le système pour avancer temporellement suivant un pas Δt .

Approximation

Différents niveaux d'approximations

- 1 **Méthodes particulières** (particle system) = on réduit tout à un point (pas de rotation + EDO) : le + simple, le moins fidèle.
- 2 **Mécanique du solide** (rigid bodies) = paramètres identiques pour tout le solide.
- 3 **Mécanique des milieux continus** (continuum mechanics) = paramètres variables dans la forme : EDP (FEM, FV, ...).



[Fedkiw IEEE TVCG 06],[Fedkiw SIGGRAPH 01]

1-Description du système :

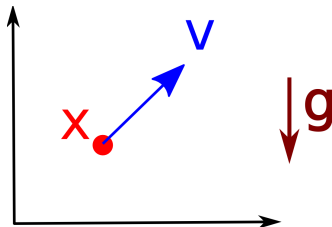
- Particule de masse m tombant en chute libre. Systeme décrit par $u = (x, v)$.
 - Position initiale $x(t = 0) = x_0$.
 - Vitesse initiale $v(t = 0) = v_0$.

2-Equation différentielle :

- Équation de la dynamique :

$$ma = \sum F = mg$$

$$\Rightarrow \begin{cases} x'(t) = v(t) \\ v'(t) = g \end{cases}$$



Résolution numérique

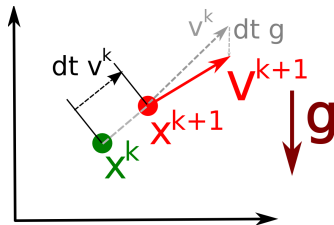
Résolution numérique directe :

$$\begin{cases} v^{k+1} = v^k + (\Delta t)g \\ x^{k+1} = x^k + (\Delta t)v^k \end{cases}$$

Implémentation triviale

```
x=x0;  
v=v0  
for (k=0; k<N; ++k)  
{  
    x=x+dt*v;  
    v=v+dt*g;  
}
```

Quel erreur commet-on en résolvant numériquement ?



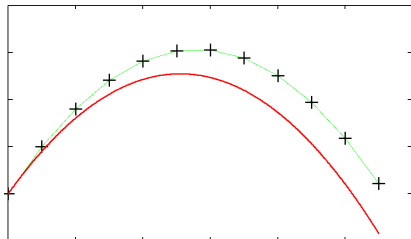
Equation résolue

Equation numérique :

$$\begin{cases} v^{k+1} = v^k + (\Delta t)g \\ x^{k+1} = x^k + (\Delta t)v^k \end{cases}$$

Réccursion sur x^k :

$$\Rightarrow \begin{cases} x^{k+2} = 2x^{k+1} - x^k + (\Delta t)^2 g \\ x^0 = x_0 \text{ et } x^1 = x_0 + \Delta t v_0 \end{cases}$$



Par récurrence :

$$\Rightarrow x(t = k\Delta t) = x_0 + (k\Delta t) v_0 + \frac{k(k-1)}{2} (\Delta t)^2 g$$

Or solution exacte de $\frac{\partial x}{\partial t}(t) = g$: $\tilde{x}(t) = 1/2gt^2 + v_0t + x_0$.

$$\tilde{x}(t = k\Delta t) = x_0 + (k\Delta t)v_0 + \frac{1}{2}(k\Delta t)^2 g$$

Précision

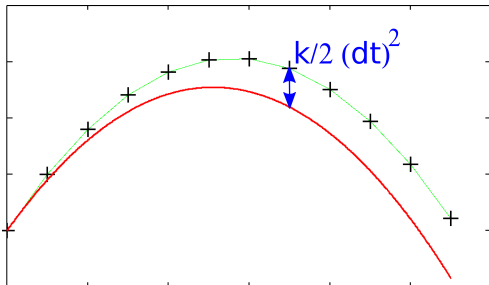
- Erreur :

$$\|x(k\Delta t) - \tilde{x}(k\Delta t)\| = \frac{k}{2}(\Delta t)^2$$

- Précision (accuracy) d'une méthode d'intégration d'ordre h :

$$\|x(k\Delta t) - \tilde{x}(k\Delta t)\| = \mathcal{O}((\Delta t)^{h+1})$$

- Notre schéma d'intégration est d'ordre 1. On ne résout pas l'équation continue !



Approche matricielle :

- On ne traite qu'avec une équation d'ordre 1 en posant $u = (x, v)$:

$$\frac{\partial u}{\partial t}(t) = \begin{pmatrix} 0 & 1 \\ 0 & 0 \end{pmatrix} u(t) + \begin{pmatrix} 0 \\ g \end{pmatrix}$$

$$\Leftrightarrow u_t = Au + b$$

- 2 Possibilités de discrétisation temporelle :
 - $(u^{k+1} - u^k)/\Delta t = Au^k + b$: Euler explicite
 - $(u^{k+1} - u^k)/\Delta t = Au^{k+1} + b$: Euler implicite

- Euler explicite :

$$u^{k+1} = (I + \Delta t A)u^k + \Delta t b$$

$$\begin{pmatrix} x \\ v \end{pmatrix}^{k+1} = \begin{pmatrix} 1 & \Delta t \\ 0 & 1 \end{pmatrix} \begin{pmatrix} x \\ v \end{pmatrix}^k + \Delta t \begin{pmatrix} 0 \\ g \end{pmatrix}$$

Même résultats que précédemment

$$\Rightarrow \begin{cases} x^{k+2} = 2x^{k+1} - x^k + (\Delta t)^2 g \\ x^0 = x_0 \text{ et } x^1 = x_0 + \Delta t v_0 \end{cases}$$

$$\Rightarrow x(k\Delta t) = x_0 + (k\Delta t) v_0 + \frac{k(k-1)}{2} (\Delta t)^2 g$$

- Euler implicite :

$$u^{k+1} = (I - \Delta t A)^{-1}(u^k + \Delta t b)$$

$$\begin{pmatrix} x \\ v \end{pmatrix}^{k+1} = \begin{pmatrix} 1 & -\Delta t \\ 0 & 1 \end{pmatrix}^{-1} \left[\begin{pmatrix} x \\ v \end{pmatrix}^k + \Delta t \begin{pmatrix} 0 \\ g \end{pmatrix} \right]$$

$$\Rightarrow \begin{cases} x^{k+2} = 2x^k - x^k + (\Delta t)^2 g \\ x^0 = x_0 \text{ et } x^1 = x_0 + \Delta t v_0 + (\Delta t)^2 g \end{cases}$$

$$\Rightarrow x(k\Delta t) = x_0 + (k\Delta t) v_0 + \frac{k(k+1)}{2} (\Delta t)^2 g$$

On ne résout toujours pas la bonne équation, et précision d'ordre 1 :

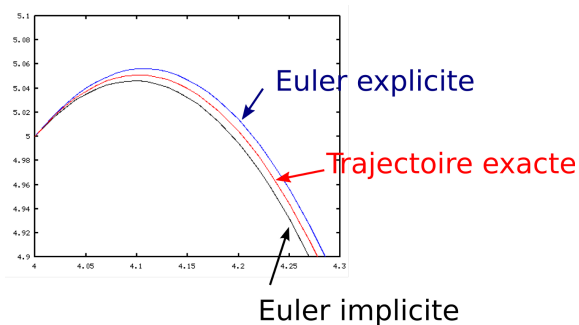
$$\|\tilde{x}(k\Delta t) - x(k\Delta t)\| = \frac{k}{2} (\Delta t)^2.$$

Euler explicite/implicite

- Euler explicite : $u^{k+1} = u^k + \Delta t F^k$
- Euler implicite : $u^{k+1} = u^k + \Delta t F^{k+1}$

Remarque :

- Euler explicite sur-estime \tilde{x} .
- Euler implicite sous-estime \tilde{x} .



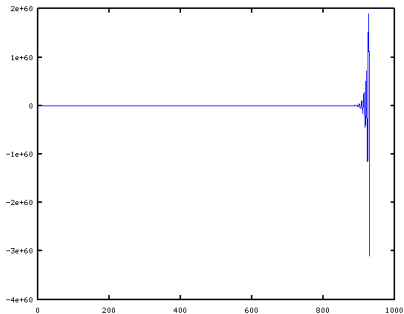
Implicite vs Explicite

Euler explicite

- + Trivial
- Potentiellement divergeant

Euler implicite

- + Inconditionnelement stable
- Inversion d'un système matriciel



- Méthodes explicites précises : Runge-Kutta pour résoudre $u'(t) = F(u, t)$.
- Ordre 4, estimation d'erreur d'ordre 5 : Dormand-Prince (ode45)

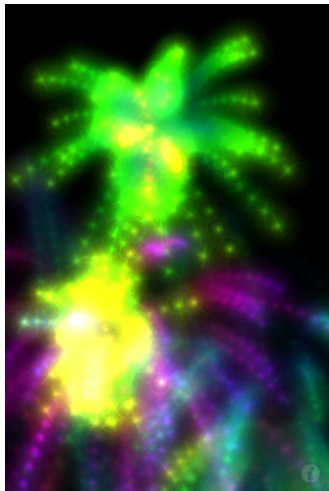
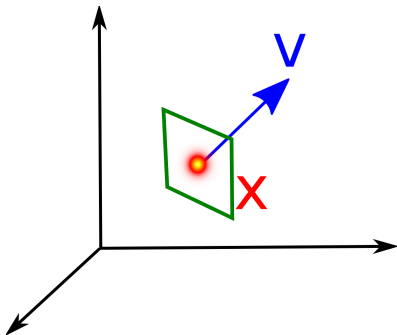
$$\begin{aligned}k_1 &= F(t_n, u_n) \\k_2 &= F\left(t_n + \frac{1}{5}\Delta t, u_n + \frac{1}{5}\Delta t k_1\right) \\k_3 &= F\left(t_n + \frac{3}{10}\Delta t, u_n + \left(\frac{3}{40}k_1 + \frac{9}{40}k_2\right)\Delta t\right) \\k_4 &= F\left(t_n + \frac{3}{5}\Delta t, u_n + \left(\frac{3}{10}k_1 - \frac{9}{10}k_2 + \frac{6}{5}k_3\right)\Delta t\right) \\k_5 &= F\left(t_n + \Delta t, u_n + \left(-\frac{11}{54}k_1 + \frac{5}{2}k_2 - \frac{70}{27}k_3 + \frac{35}{27}k_4\right)\Delta t\right) \\k_6 &= F\left(t_n + \frac{7}{8}\Delta t, u_n + \left(\frac{1631}{55296}k_1 + \frac{175}{512}k_2 - \frac{575}{13824}k_3 + \frac{44275}{110592}k_4 + \frac{253}{4096}k_5\right)\Delta t\right)\end{aligned}$$

$$\begin{aligned}u_{n+1}^4 &= u_n + \Delta t \left(\frac{2825}{27648}k_1 + \frac{18575}{48384}k_3 + \frac{13525}{55296}k_4 + \frac{277}{14336}k_5 + \frac{1}{4}k_6\right) \\u_{n+1}^5 &= u_n + \Delta t \left(\frac{37}{378}k_1 + \frac{250}{621}k_3 + \frac{125}{594}k_4 + \frac{512}{1771}k_6\right)\end{aligned}$$

Application : Sprites

Sprites=

- Particule tombant sous gravité
- Durée de vie limitée
- Plaqué une texture transparente animée

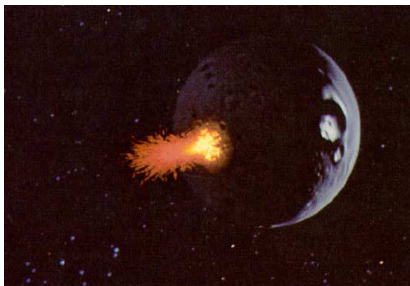


©Apple

Particules + trajectoires

- On peut afficher la trajectoire

[William T. Reeves. **Particle Systems. A Technique for Modeling a Class of Fuzzy Objects.** *ACM Transaction on Graphics*, 17(3). 1983]



© Lucasfilm, Star Trek II



[Reeves, TOG 83]

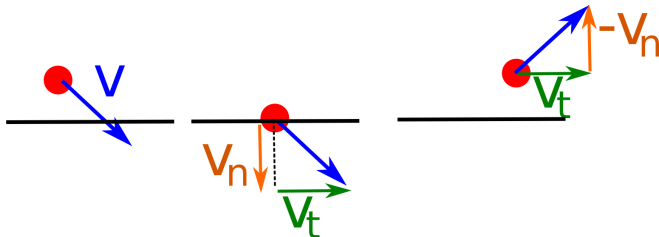
Système de particules + collision

- Les particules peuvent entrer en collision avec un plan :
 $\mathcal{P} : \langle x - p_0, n \rangle = 0$
- Détection : $\langle x - p_0, n \rangle < 0$
- Séparation : vitesse tangentielle v_t , vitesse normale v_n .

$$\begin{cases} v_n = \langle v, n \rangle \\ v_t = v - \langle v, n \rangle n \end{cases}$$

- Après collision, perte d'énergie : amortissement par μ =coeff de restitution

$$v^{k+1} = -\mu \langle v^k, n \rangle n + (v^k - \langle v^k, n \rangle n)$$

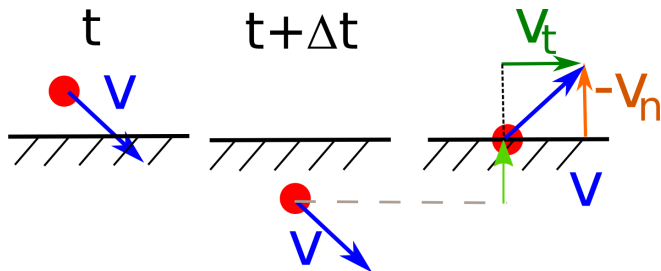


- Attention à la discrétisation temporelle !

1 Projection : Simple, faux (instabilités).

$$x^{k+1} = x^k - \langle x^k - p_0, n \rangle n$$

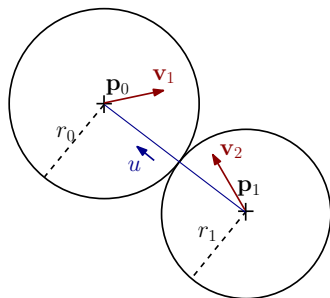
2 Recherche arrière : Moins simple, moins faux.



Sphères dures

- Particules = Sphères masse m , centre x , rayon r .
- Particules en collision si

$$\|x_1 - x_2\| < r_1 + r_2$$



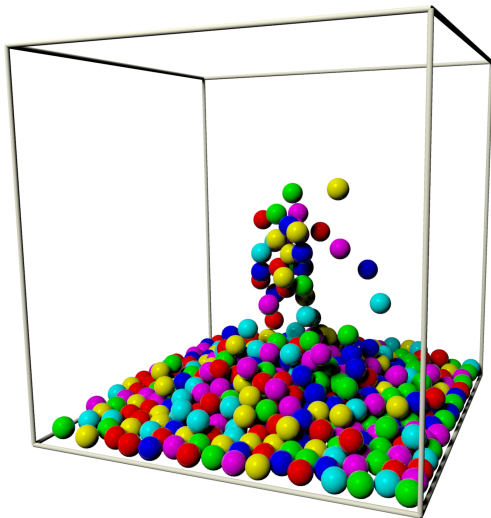
- Nouvelle vitesse en choc élastique

$$\begin{cases} v_1^{k+1} = v_1^k + \frac{1}{m_1+m_2} \left[m_2 \langle v_2^k, u \rangle - \frac{1}{2}(m_1 + 3m_2) \langle v_1^k, u \rangle \right] u \\ v_2^{k+1} = v_2^k + \frac{1}{m_1+m_2} \left[m_1 \langle v_1^k, u \rangle - \frac{1}{2}(m_2 + 3m_1) \langle v_2^k, u \rangle \right] u \\ u = x_1 - x_0 \end{cases}$$

- Penser à reprojeter sur la surface de contact

Sphères dures

- On génère beaucoup de sphères

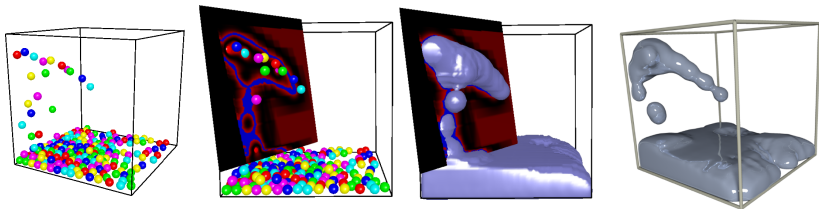
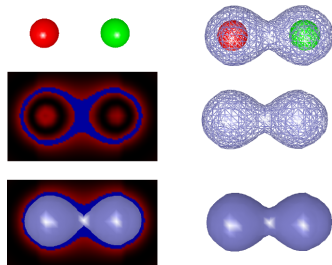


Sphère : Potentiel implicite

- Affecte potentiel de l'espace à chaque particule (ex. blobs)

$$f(x) = \sum_i \exp(-a\|x - x_i\|^n)$$

⇒ Simulation de fluides.

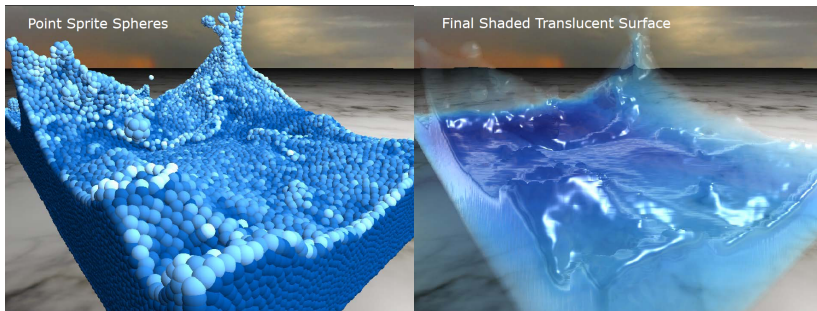


Detection efficace de collision

- Algorithme force brute :

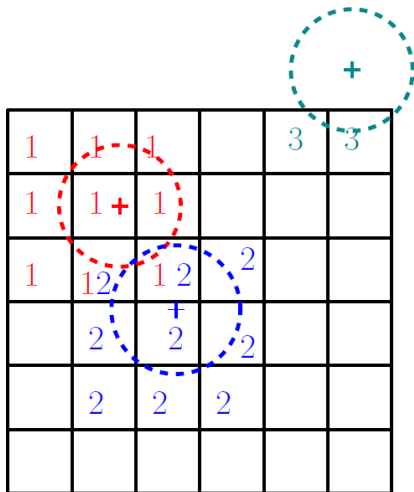
```
for (i=0; i<N; ++i)
  for (j=i+1; j<N; ++j)
    if ( norm(xi-xj) < r1+r2 )
      CollisionResponse(i, j)
```

- Complexité $\mathcal{O}(N^2)$
- Impossible pour 10^{3-6} particules en temps réel.



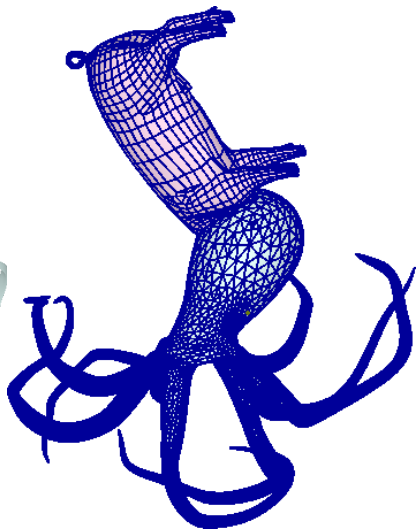
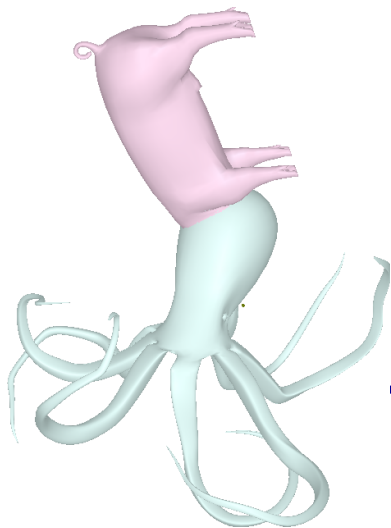
Grilles acceleratrices

- Grille régulière
- Recherche en $\mathcal{O}(1)$
- + Simple, recherche spatial efficace
- + Ok pour échantillonnage uniforme
- Utilisation mémoire

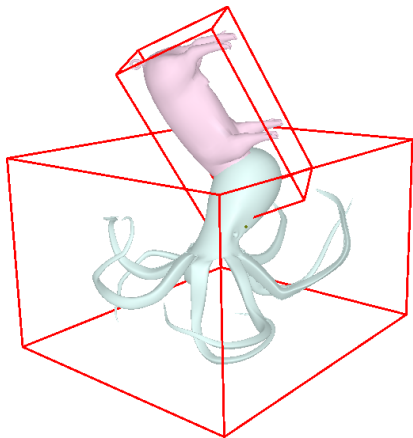


Détection de collision objets

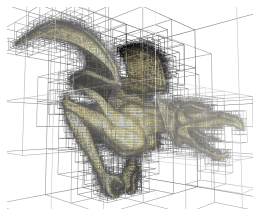
- Recherche triangles/triangles en $\mathcal{O}(N_{T1}N_{T2})$.
- Zones vides.



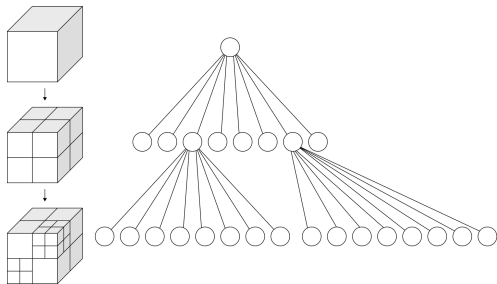
- Boite englobante = Bounding Box (BB)
- Le plus simple : AABB (Axis Aligned Bounding Box)
- Sphère englobantes
- + Détection de Non-Collision en $\mathcal{O}(N_{\text{obj}}^2)$



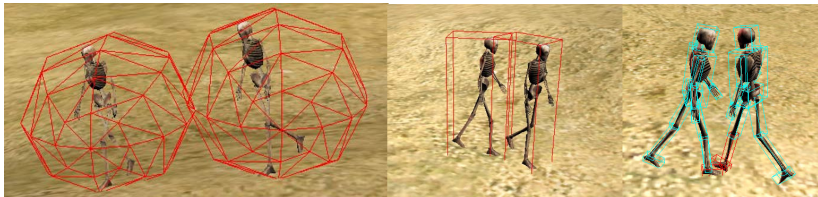
- Grille auto-adaptable : **Octree**
- + Géométrie complexe
- + Recherche en $\mathcal{O}(\log(M))$, M taille arbre.



[Lefebvre GPU Gems 2, 2004]



- En pratique : Niveaux de détails de boites englobantes
 - ex. Spheres dans BB dans Octree
 - ex. OBB dans AABB dans Spheres



Ditchburn

- 1 Test grossier
 - 2 Test fin
 - 3 ...
 - 4 Optionnel : Calcul de la vraie collision
- ⇒ Tests de Non-collision rapide
- ⇒ Détection de collision lent

- Ressort 1D : $F(t) = K(L_0 - x(t))$
- Equation : $x''(t) = K/m(L_0 - x(t))$

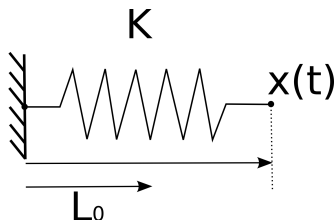
$$u' = \begin{pmatrix} 0 & 1 \\ -K/m & 0 \end{pmatrix} u + \begin{pmatrix} 0 \\ kL_0/m \end{pmatrix}$$

- Vraie solution : oscillations
 - Euler explicite :

$$x^{k+2} = 2x^{k+1} - \left(1 + (\Delta t)^2 \frac{K}{m}\right) x^k + (\Delta t)^2 \frac{K}{m} L_0$$

Stable si $(1 + (\Delta t)^2 \frac{K}{m}) < 1 \Rightarrow$ Euler explicite diverge forcément !

- Euler implicite converge vers 0.



- Ajout d'un terme de frottement fluide : $F(t) = -\mu v(t)$.

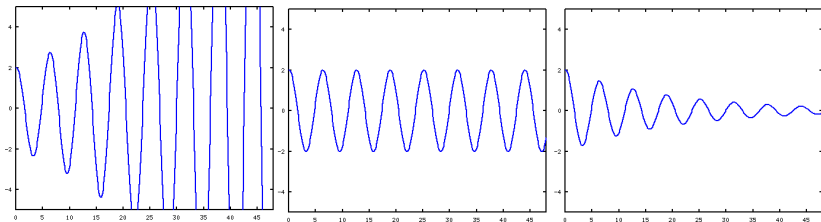
$$u' = \begin{pmatrix} 0 & 1 \\ -K/m & -\mu/m \end{pmatrix} u + \begin{pmatrix} 0 \\ kL_0/m \end{pmatrix}$$

- Nouvelle récurrence pour Euler explicite :

$$x^{k+2} = (2 - \mu\Delta t)x^{k+1} - \left(1 + \frac{(\Delta t)^2 K - \mu}{m}\right) x^k + (\Delta t)^2 \frac{K}{m} L_0$$

- Stable si $\Delta t < \sqrt{\frac{\mu}{K}}$
- Ressorts raides : K grand \Rightarrow Système raide (stiff).

! Précision \neq Stabilité



- Schémas explicite \Rightarrow petits pas de temps / rapide.
- Schémas implicites \Rightarrow grands pas de temps / inversion système.

■ Calcul automatique du pas de temps

Δt :

1 Calcul $u_1^{n+1} = F(\Delta t, u^n)$

2 Calcul $u_2^{n+1/2} = F(\frac{\Delta t}{2}, u^n)$;
 $u_2^{n+1} = F(\frac{\Delta t}{2}, u_2^{n+1/2})$

3 $e = \|u_1^{n+1} - u_2^{n+1}\|$

⇒ $e > \text{threshold}_1$: $(\Delta t)_{\text{new}} = \frac{\Delta t}{2}$

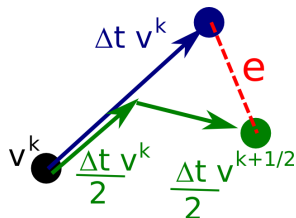
⇒ $e < \text{threshold}_2$: $(\Delta t)_{\text{new}} = 2\Delta t$

■ 3 évaluations

■ Avec des ordres différents (Dormant-Prince !)

■ $e = \|u_{\text{order}h} - u_{\text{order}h+1}\|$

■ 2 évaluations.



Faire

$u_1 = F(dt, u)$

$u_2 = F(dt/2, u)$;

$u_2 = F(dt/2, u_2)$;

$e = \text{norm}(u_1 - u_2)$

si $e < E_{\text{min}}$

$dt *= 2$;

si $e > E_{\text{max}}$

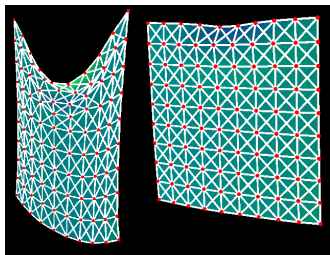
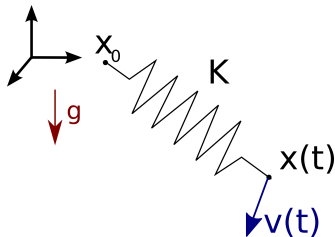
$dt /= 2$;

tant que

! ($E_{\text{min}} < e < E_{\text{max}}$)

- En 3D :

$$F(t) = K (L_0 - \|x - x_0\|) \frac{x - x_0}{\|x - x_0\|}$$



M. Fisher

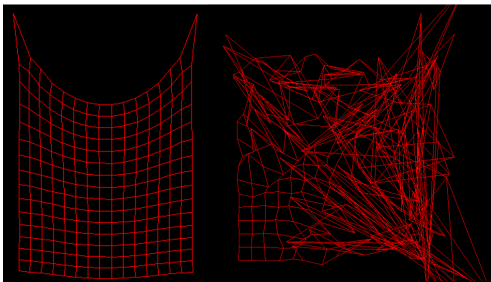
Masses-ressorts : Animation de tissus

- Modélisation d'un tissu par des ressorts couplés.
- Force pour un sommet i de voisins \mathcal{V}_i

$$F(x_i, t) = \sum_{j \in \mathcal{V}_i} K^{ij} \left(L_0^{ij} - \|x_i - x_j\| \right) \frac{x_i - x_j}{\|x_i - x_j\|} + g$$

$$\forall i, \begin{cases} x_i'(t) = v_i(t) \\ v_i'(t) = \frac{1}{m_i} \sum_j K^{ij} \left(L_0^{ij} - \|x_i - x_j\| \right) \frac{x_i - x_j}{\|x_i - x_j\|} + g \end{cases}$$

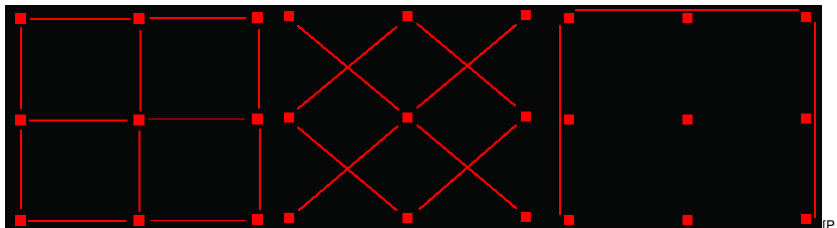
⇒ Schéma d'intégration favori



[P. Jacobs]

Masses-ressorts, animation de tissu

- Ressorts d'elongation (stiffness) : K_1
- Ressorts de cisaillement (shear) K_2
- Ressorts de courbure (bending) K_3



Jacobs]

[P.

Algorithmme Euler explicite

```
//calcul des forces
Pour tout i
  Pour j: 4 voisins directes (structure) K=K1
          4 voisins diagonaux (shear) K=K2
          8 voisins (bend): K=K3
    u=x[i]-x[j]
    F[i] += K (L0-norm(u))*u/norm(u)
  fin Pour
fin Pour

//MAJ
Pour tout i
  v[i] += dt*F[i]
  x[i] += dt*v[i]
fin Pour
```

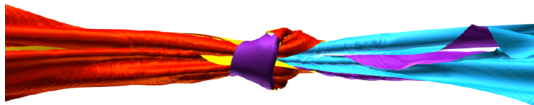
- Forme vectorielle :

$$u(t) = (x_0(t), x_1(t), \dots, x_{N-1}(t), v_0(t), \dots, v_{N-1}(t))$$

$$u'(t) = \mathcal{F}(u(t))$$

- ⇒ Système non linéaire à N inconnues : On ne sait pas inverser.
- ⇒ Linéarisation en $x(t) - x_0 = \Delta L v(t) + \mathcal{O}((\Delta L)^2)$
 - On se ramène à un système linéaire.
 - Perte de la stabilité inconditionnelle : En pratique très stable.

- Vêtement = Tissu + collisions complexes



[Grinspun, SIGGRAPH 09]



© DAZ3D, Dynamic Clothing